

Blade R downlight

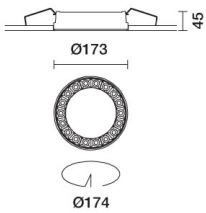
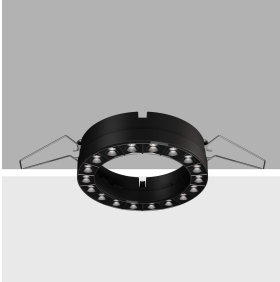
Design iGuzzini

iGuzzini

Ultimo aggiornamento delle informazioni: Aprile 2025

Configurazione di prodotto: QT02

QT02: Minimal Ø 174 - Flood beam - LED



Codice prodotto

QT02: Minimal Ø 174 - Flood beam - LED

Descrizione tecnica

Apparecchio anulare costituito da 18 elementi ottici per sorgenti LED- ottiche fisse il sistema ottico garantisce un elevatissimo confort visivo ed assenza di abbagliamento. Corpo che include la superficie radiante realizzato in pressofusione di alluminio. Versione minimal (frameless) a filo soffitto. Per l'installazione dell'incasso sul controsoffitto è indispensabile lo specifico adattatore disponibile con codifica separata. Riflettori ad alta definizione realizzati in materiale termoplastico metallizzato con vapori di alluminio sotto vuoto, integrati e posizionati in modo arretrato rispetto allo schermo anti abbagliamento. Fornito di unità di alimentazione collegata all'apparecchio.

Installazione

Ad incasso con molle in filo di acciaio per controsoffitti da 12,5 a 25 mm - foro per installazione Ø 174.

Colore

Bianco (01) | Nero (04) | Oro (14)* | Cromo brunito (E6)*

Peso (Kg)

0.68

* Colori a richiesta

Montaggio

incasso a soffitto

Cablaggio

Sull'unità di alimentazione con morsettieria inclusa. Disponibile nelle versioni elettroniche DALI.

Soddisfa EN60598-1 e relative note



Dati tecnici

| | | | |
|--|------|------------------------------------|-------------------------------|
| Im di sistema: | 2615 | Temperatura colore [K]: | 2700 |
| W di sistema: | 39.1 | MacAdam Step: | 2 |
| Im di sorgente: | 3150 | Life Time LED 1: | 50,000h - L90 - B10 (Ta 25°C) |
| W di sorgente: | 36 | Voltaggio [Vin]: | 230 |
| Efficienza luminosa (lm/W, dati di sistema): | 66.9 | Codice lampada: | LED |
| Im in modalità emergenza: | - | Numero di lampade per vano ottico: | 1 |
| Flusso totale emesso a 90° o superiore [Lm]: | 0 | Codice ZVEI: | LED |
| Light Output Ratio (L.O.R.) [%]: | 83 | Numero di vani ottici: | 1 |
| Angolo di apertura [°]: | 44° | Control: | DALI-2 |
| CRI (minimo): | 90 | | |

Polare

| CIE | | Lux | |
|--------------|---------|-----|-------------------|
| Imax=5178 cd | C65-245 | h | d1 d2 Em Emax |
| 90° | 180° | 2 | 1.6 1.6 1055 1275 |
| 90° | 0° | 4 | 3.2 3.2 264 319 |
| 4500 | | 6 | 4.8 4.8 117 142 |
| α = 44° | | 8 | 6.5 6.5 66 80 |

Coefficienti di utilizzazione

| R | 77 | 75 | 73 | 71 | 55 | 53 | 33 | 00 | DRR |
|------|----|----|----|----|----|----|----|----|-----|
| K0.8 | 75 | 71 | 68 | 66 | 70 | 68 | 68 | 65 | 78 |
| 1.0 | 78 | 75 | 72 | 70 | 74 | 72 | 71 | 69 | 83 |
| 1.5 | 82 | 80 | 77 | 76 | 79 | 77 | 76 | 74 | 89 |
| 2.0 | 85 | 83 | 81 | 80 | 82 | 80 | 79 | 77 | 93 |
| 2.5 | 86 | 85 | 84 | 83 | 84 | 83 | 82 | 79 | 96 |
| 3.0 | 87 | 86 | 85 | 85 | 85 | 84 | 83 | 81 | 98 |
| 4.0 | 88 | 87 | 87 | 86 | 86 | 86 | 84 | 82 | 99 |
| 5.0 | 89 | 88 | 88 | 88 | 87 | 86 | 85 | 83 | 100 |

Curva limite di luminanza

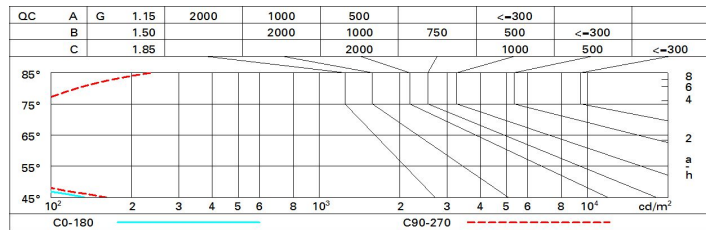


Diagramma UGR

| Corrected UGR values (at 3150 lm bare lamp luminous flux) | | | | | | | | | | | |
|---|------|------------------|------|------|------|------|----------------|------|------|------|------|
| Reflect.: | | viewed crosswise | | | | | viewed endwise | | | | |
| ceil/cav | | 0.70 | 0.70 | 0.50 | 0.50 | 0.30 | 0.70 | 0.70 | 0.50 | 0.50 | 0.30 |
| walls | | 0.50 | 0.30 | 0.50 | 0.30 | 0.30 | 0.50 | 0.30 | 0.50 | 0.30 | 0.30 |
| work pl. | | 0.20 | 0.20 | 0.20 | 0.20 | 0.20 | 0.20 | 0.20 | 0.20 | 0.20 | 0.20 |
| Room dim | | | | | | | | | | | |
| x | y | | | | | | | | | | |
| 2H | 2H | 1.3 | 1.9 | 1.6 | 2.1 | 2.4 | 1.6 | 2.2 | 1.9 | 2.4 | 2.7 |
| | 3H | 1.2 | 1.7 | 1.5 | 2.0 | 2.3 | 1.5 | 2.0 | 1.8 | 2.3 | 2.5 |
| | 4H | 1.1 | 1.6 | 1.5 | 1.9 | 2.2 | 1.4 | 1.9 | 1.7 | 2.2 | 2.5 |
| | 6H | 1.0 | 1.5 | 1.4 | 1.8 | 2.1 | 1.3 | 1.8 | 1.7 | 2.1 | 2.4 |
| | 8H | 1.0 | 1.4 | 1.4 | 1.8 | 2.1 | 1.3 | 1.7 | 1.7 | 2.0 | 2.4 |
| | 12H | 1.0 | 1.4 | 1.3 | 1.7 | 2.1 | 1.3 | 1.7 | 1.6 | 2.0 | 2.3 |
| 4H | 2H | 1.1 | 1.6 | 1.5 | 1.9 | 2.2 | 1.4 | 1.9 | 1.7 | 2.2 | 2.5 |
| | 3H | 1.0 | 1.4 | 1.3 | 1.7 | 2.1 | 1.3 | 1.7 | 1.6 | 2.0 | 2.4 |
| | 4H | 0.9 | 1.2 | 1.3 | 1.6 | 2.0 | 1.2 | 1.5 | 1.6 | 1.9 | 2.3 |
| | 6H | 0.8 | 1.1 | 1.2 | 1.5 | 1.9 | 1.1 | 1.4 | 1.5 | 1.8 | 2.2 |
| | 8H | 0.7 | 1.0 | 1.2 | 1.5 | 1.9 | 1.0 | 1.3 | 1.5 | 1.7 | 2.2 |
| | 12H | 0.7 | 1.0 | 1.2 | 1.4 | 1.8 | 1.0 | 1.3 | 1.4 | 1.7 | 2.1 |
| 8H | 4H | 0.7 | 1.0 | 1.2 | 1.4 | 1.9 | 1.1 | 1.4 | 1.5 | 1.8 | 2.2 |
| | 6H | 0.7 | 0.9 | 1.1 | 1.3 | 1.8 | 1.0 | 1.2 | 1.5 | 1.7 | 2.2 |
| | 8H | 0.6 | 0.8 | 1.1 | 1.3 | 1.8 | 0.9 | 1.1 | 1.4 | 1.6 | 2.1 |
| | 12H | 0.5 | 0.7 | 1.1 | 1.2 | 1.7 | 0.9 | 1.1 | 1.4 | 1.6 | 2.1 |
| 12H | 4H | 0.7 | 1.0 | 1.2 | 1.4 | 1.8 | 1.1 | 1.3 | 1.5 | 1.8 | 2.2 |
| | 6H | 0.6 | 0.8 | 1.1 | 1.3 | 1.8 | 1.0 | 1.2 | 1.5 | 1.7 | 2.2 |
| | 8H | 0.5 | 0.7 | 1.1 | 1.2 | 1.7 | 0.9 | 1.1 | 1.4 | 1.6 | 2.1 |
| Variations with the observer position at spacing: | | | | | | | | | | | |
| S = | 1.0H | 6.9 / -19.8 | | | | | 6.8 / -11.5 | | | | |
| | 1.5H | 9.8 / -20.9 | | | | | 9.6 / -11.7 | | | | |
| | 2.0H | 11.8 / -21.3 | | | | | 11.6 / -12.0 | | | | |